

A proposal for standardness of spatial graphs

東女大文理 小林一章

この論文で我々は有限グラフの標準的な空間表現(空間グラフ)の候補になり得るものと2つ提案する。しかしとの定義が「標準的」であるにふさわしいか否かを示す諸性質については未だ「殆んど」証明されていない。いわば「標準的」であろうといふ直観に基づいたものであることを最初にお断りしておく。その直観を支えているものは円周、円周産、平面的グラフ、半ハミルトングラフ等に対する定義された「標準的」空間表現の定義を拡張しているかといふことと、それらの持っている諸性質を引継いでいるかといふことである。

以下特に断りない限りグラフは有限、单纯、連結とし次数2以下の頂点も持たないものとする(これらの条件は標準的空间グラフを考える場合に本質的ではないグラフを排除するためのものである)。

定義1 G を半ハミルトングラフとし、 B_p を p 枚のシートをもつ本とする。日を B_p をバインダーとし、 Δ を G の1つハミルトン道とする。埋め込み $\varphi: G \rightarrow B_p$ が Δ に一致する本表現(B.P.H.△)であるとは次の条件をみたすときをいう。

- (1) $\varphi(\Delta) \subset \Sigma$
- (2) $\forall e \in E(G) \text{ に対して } \exists_{S_i \in B_p} (\text{シート}) \ni \varphi(e) \subset S_i$

定義2. G をグラフとし、 B_p を p 枚のシートをもつ本とする。日を B_p のバインダーとする。埋め込み $\psi: G \rightarrow B_p$ が本表現であるとは次の条件をみたすときをいう。

- (1) $\psi(V(G)) \subset \Sigma$

(2) $\forall e \in E(G)$ に \exists $S_i \in B_p$ ($\exists i$) $\rightarrow \psi(e) \subset S_i$.
 (ハミルトン道に \triangle する条件が \triangle に注意).

定義3. 空間グラフ \tilde{G}^* がグラフ G の O-standard 空間グラフであるとは、最小シート数をもつ G の本表現 $\psi: G \rightarrow B_p$ があり、 \tilde{G}^* と $\psi(G)$ がアンビエント・イントピックになることである。

命題1. 任意の単純、連結な有限グラフ G に \exists \tilde{G}^* が G の O-standard 空間グラフである

問題1. G が半ハミルトングラフで \tilde{G}^* が G の O-standard 空間グラフのとき G のあるハミルトン道 \triangle に \triangle する本表現 ψ があるとき \tilde{G}^* と $\psi(G)$ がアンビエント・イントピックとなるか。

問題2. \tilde{G}^* がグラフ G の O-standard 空間グラフのとき $\pi_1(S^3 - \tilde{G}^*)$ は自由群となるか。

命題2. 完全グラフ K_n に \exists 上の問題1は正しい。従って完全グラフに \triangle しては問題2も成り立つ。

証明. $\psi: K_n \rightarrow B_p$ を最小シート数をもつ本表現とする。
 $\psi(K_n)$ をバインダー上左から順に番号を付ける。任意の辺に \exists $\psi(e)$ を含むシートは唯一枚だから完全グラフ K_n の特長より上と隣接している頂点 v_i と v_{i+1} を結ぶ辺 e_i が必ず存在し、 $\psi(e_i)$ を含むシート S_j の中でバインダー上に \exists $\psi(e_i)$ は innermost である。そして $\psi(e_i)$ をアンビエント・イントピック動かして上に移すことが出来る。すると道 $v_1 v_2 \dots v_n$ はハミルトン道 \triangle であり ψ は \triangle に \triangle する本表現でありシート数が最小の $\left[\frac{n+1}{2}\right]$ であることは明らか。□

注. 上の命題2を一般の半ハミルトングラフ G におきかえたとき、 $\psi: G \rightarrow B_p$ が最小シート数をもつ本表現でバインダー

Σ 上で $\psi(V(G))$ を左側から番号づけたとき（それを v_1, v_2, \dots, v_n とおく）ハミルトン道 $\Delta = v_1 v_2 \dots v_n$ があれば“上と同じ議論が出来る”

定義4. $B_p = \Sigma \cup \bigcup_{i=1}^p S_i$ を p 枝シートをもつ本とし、同相写像

$ho : B_p \rightarrow B_p$ は次の条件を満足するとする

$$1) \quad ho|_\Sigma = id$$

2) $ho(S_i) = S_{\sigma(i)}$. ここで $\sigma : \{1, 2, \dots, p\} \rightarrow \{1, 2, \dots, p\}$
は集合 $\{1, 2, \dots, p\}$ 上の置換である。

このとき ho を B_p のシート変換といつ。

問題3. \tilde{G}^* をグラフ G の O -standard 空間グラフとしたとき、
 \tilde{G}^* はシート変換と 3 次元球面内のアンビエント・イソトピーを除いて一意か。

次にもう一つの標準的な空間グラフの概念を導入する。

定義5. グラフ G に対する次の性質をもつグラフ H を考える。

- 1) H は半ハミルトングラフである。
- 2) H は G を部分グラフとして含む。
- 3) H と G の頂点集合は一致する。 $V(H) = V(G)$
- 4) H は上の(1)～(3)の性質をもつてゐるグラフのうち $|E(H)| - |E(G)|$ が最小のものである。

このとき H を G に対する極小半ハミルトングラフ (minimal pseudo H -graph with respect to G) といつ。

注. G に対する極小半ハミルトングラフ H_G は同形の範囲内でも一意には決まらない。また G が元来半ハミルトングラフなら $H = G$ である。

(42)

定義 6. グラフ G に対して、極小半ハミルトングラフを取り、それを H_G とかく。 Δ_H を H_G のハミルトン道とする。このとき最小シート数をもつ Δ_H に一致する H_G の本表現 $\psi: (H, \Delta) \rightarrow (B_p, \Sigma)$ を取り、 $\psi(G)$ とアンビエント・イソトピー・クラス G の空間表現 G^* を G の K-standard 空間グラフという。

例.



注 G が半ハミルトングラフでなく H が G の極小半ハミルトングラフで $H = G \cup \{e\}$ のとき H に 2 つ以上の H -path があるときがある。

注 定義 5 及び 6 より K-standard という概念は明らかに半ハミルトングラフの場合の standard 空間グラフの拡張になっている。一方 O-standard の方は完全グラフ以外のグラフに対しては拡張に成功するか否か今の所不明(問題 1 及び命題 2 参照)。

注 K-standard 空間グラフに対する命題 1 と同様のこと成り立つ。

問題 4. K-standard と O-standard とは一致するか

命題 3. 完全グラフ K_n に対する K-standard と O-standard は一致する。

証明 命題 2 によて完全グラフ K_n に対する O-standard は今迄の standard に一致する。一方半ハミルトングラフに対する K-standard と standard は一致するから、結局完全グラフに一致しては O-standard, K-standard, (半ハミルトングラフに対する) standard はアンビエント・イソトピーの範囲で一致する。□

命題 4. グラフ G の極大木 (maximal tree) を T_G とすると $\text{rank } H_1(G; \mathbb{Z}) = |E(G)| - |E(T_G)|$

証明 G は連結だから $\text{rank } H_1(G; \mathbb{Z}) = |V(G)| + |E(G)| - |E(T_G)|$

(4)

$$\begin{aligned}
 \text{また } 1 - \text{rank } H_1(T_G; \mathbb{Z}) &= |V(T_G)| - |E(T_G)| \\
 \text{で } \text{rank } H_1(T_G; \mathbb{Z}) &= 0 \rightarrow V(T_G) = V(G) \\
 \text{よって } |V(T_G)| - |E(T_G)| &= |V(G)| - |E(T_G)| \\
 \therefore |V(G)| &= |V(T_G)| + |E(T_G)| \\
 \therefore \text{rank } H_1(G; \mathbb{Z}) &= 1 - (|V(T_G)| + |E(T_G)|) + |E(G)| \\
 &= |E(G)| - |E(T_G)|. \quad \square
 \end{aligned}$$

系. 完全二部グラフ $K_{n,n-2}$ に対する極小半ハミルトングラフを H とすると

$$\text{rank } H_1(H; \mathbb{Z}) = \text{rank } H_1(K_{n,n-2}; \mathbb{Z}) + 1$$

証明. $K_{n,n-2}$ は半ハミルトングラフでないから

$$|E(H)| - |E(K_{n,n-2})| \geq 1.$$

しかも $K_{n,n-2}$ に 1 本の辺を加えて半ハミルトングラフに出来るので

$$|E(H)| - |E(K_{n,n-2})| = 1.$$

そこで $H = K_{n,n-2} \cup \{e\}$ とおくと $e \in E(H)$ で $e \notin T_{K_{n,n-2}}$ ($K_{n,n-2}$ の 1 つの極大木) があり $V(K_{n,n-2}) = V(H)$. だから $T_{K_{n,n-2}}$ を H の極大木と考えることが出来る. これを $T_H (= T_{K_{n,n-2}})$ とおく. 従って $e \notin E(T_H)$.

そこで 命題 4 より

$$\begin{aligned}
 \text{rank } H_1(H; \mathbb{Z}) &= |E(H)| - |E(T_H)| \\
 &= (|E(K_{n,n-2})| + 1) - |E(T_{K_{n,n-2}})| \\
 &= \text{rank } H_1(K_{n,n-2}; \mathbb{Z}) + 1
 \end{aligned}$$

□

上の系の拡張として次の命題 5 が証明出来る.

命題 5. グラフ G の極小半ハミルトングラフを H とし $H = G \cup \{e_1, e_2, \dots, e_p\}$ とおくと.

$$\text{rank } H_1(H; \mathbb{Z}) = \text{rank } H_1(G; \mathbb{Z}) + p.$$

証明. G の 1 つの極大木を T_G とおくと $V(H) = V(G)$ より T_G は H の極大木でもある. そこでそれを $T_H (= T_G)$ とかくと $e_i \notin T_H$ であり, 命題 4 より

(44)

$$\begin{aligned}\text{rank } H_1(H: \mathbb{Z}) &= |E(H)| - |E(T_H)| = |E(G)| + p - |E(T_H)| \\ &= |E(G)| + p - |E(T_G)| = \text{rank } H_1(G: \mathbb{Z}) + p\end{aligned}\quad \square$$

定義7 グラフ G の極大木を T_G とおく

$E(G) - E(T_G) = \{e_1, e_2, \dots, e_p\}$ とし 各 e_i の両頂点を T_G 中で結んだ道を f_i とおく。 $c_i = e_i \cup f_i$ とおくと $\{c_1, c_2, \dots, c_p\}$ は $H_1(G: \mathbb{Z})$ の基となる。この基 $B = \{c_1, c_2, \dots, c_p\}$ を 極大木 T_G に一致して適正に取られた基という。勿論この基は 極大木 T_G の取り方に依存している。

定義8. グラフ G の極小半ハミルトングラフを H とする。 H の極大木として 得られたハミルトン道 Δ_H を取り、 $H_1(H: \mathbb{Z})$ の基として Δ_H に一致して適正に取られた基を取る。この基を $B_{\Delta_H} = \{x_1, \dots, x_\beta\}$ ($\beta = \text{rank } H_1(H: \mathbb{Z})$) とおく。次に $H_1(G: \mathbb{Z})$ の (B_{Δ_H} から導かれる) 基として、次のような極大木 T_G を定めて それには一致して適正に取られた基を取る

T_G の定め方。 $E(\Delta_H) \cap E(G)$ に含まれる全ての辺は T_G に含まれるとする。 Δ_H に一致する H の最小シート数をもつ本表現 $\psi: H \rightarrow B_p$ を取ると $E(\Delta_H) \cap E(G)$ に含まれる全ての 辺の ψ による像は全て B_p のバインダー上にある。これらの辺の集合 $\{\psi(e)\}$ を $\{\psi(e)\} = \square_1 \cup \square_2 \cup \dots \cup \square_\ell$ (非交和) とかく。ここで \square_i は連結成分とする。 $E(G)$ の元の ψ による像が異なる \square_i と \square_j を結び且つ B_p のあるシートにおいて innermost なもの $\alpha_1, \dots, \alpha_g$ を取る。すると $\bigcup \square_i \cup \bigcup \alpha_i$ は $\psi(G)$ の極大木となるので、これに一致して G の部分を T_G とおく。この T_G を ψ による G の指定された極大木という。

命題6. グラフ G の辺集合 $E(G)$ の部分集合 F に一致し、 F に含まれる全ての辺で構成される G の部分グラフ G_1 (連結とは限らない) がサイクルを含まない (即ち $H_1(G_1: \mathbb{Z}) = 0$) なら G_1 を含む G の極大木 T_G がある

(6)

証明 $E(G) - F$ の元を次々と F に加えていく。 $e_i \in E(G) - F$ として

$$F_1 = F \cup \{e_1\}, F_2 = F_1 \cup \{e_2\}, \dots, F_{k-1} = F_{k-2} \cup \{e_{k-1}\}$$

ただし e_i を加えることにより F_i が サイクルを含むことになる
なら e_i は加えないとする。

もし e_i が $F_{k-1} \cup \{e_k\} = F \cup \{e_1, e_2, \dots, e_k\}$ にサイクルを含まない
 $\forall e \in E(G) - F_k$ に対して $F_k \cup \{e\}$ はサイクルを含まない
 F_k は極大木である。即ち $F_k = T_G$. \square

§. 完全2部グラフ $K_{n, n-2}$ について

命題7 (喜羽) 完全 n 部グラフ K_{m_1, m_2, \dots, m_n} ($m_1 \geq m_2 \geq \dots \geq m_n$)
が半ハミルトングラフである必要十分条件は

$$m_1 \leq \sum_{i=2}^n m_i + 1 \quad \text{である} \quad \square$$

上の命題により完全2部グラフ $K_{n, n-2}$ は半ハミルトングラフで
ないグラフのうち最も考えやすいグラフであると思われる。

H を $K_{n, n-2}$ の極小半ハミルトングラフとするとき $|E(H)| - |E(K_{n, n-1})| = 1$
である。

$V(K_{n, n-2}) = U \cup V = \{u_1, u_2, \dots, u_n\} \cup \{v_1, v_2, \dots, v_{n-2}\}$ とおく
 $K_{n, n-2}$ の対称性から u_1, u_2, \dots, u_n のうちのどれかの2頂点 u_i, u_j を
辺 e で結べば $H := K_{n, n-2} \cup \{e\}$ は半ハミルトングラフになる。
便宜上辺 e は頂点 u_{n-1} と u_n を結んでいるとする。また
 $K_{n, n-2}$ の極大木 $T = \bigcup_{i=1}^{n-2} u_i v_i \cup \bigcup_{j=1}^{n-2} v_j u_{j+1} \cup v_{n-2} u_n$ を1つ固定

しておく、 $H = K_{n, n-2} \cup \{e\}$, $\partial u = \{u_{n-1}, u_n\}$

命題8. $n \geq 5$ のとき $K_{n, n-2}$ は $K_{3,3}$ を含む非平面的グラフ
であり、また $K_{4,2}$ は平面的グラフである

(46)

命題9. $n \geq 6$ のとき $K_{n,n-2}$ は self-linked である, $K_{5,3}$ は self-linked でない

証明 $n \geq 6$ のとき $K_{n,n-2} \geq K_{6,4} > K_{4,4}$ であり $K_{4,4}$ は self-linked だから $K_{n,n-2}$ は self-linked である.

一般に完全2部グラフに含まれるサイクルの長さは4以上だから $K_{5,3}$ の中には交わらない2つのサイクルは含まれてない. 従って $K_{5,3}$ は self-linked でない

命題10. $n \geq 7$ のとき $K_{n,n-2}$ は self-knotted である, $K_{5,3}$ は self-knotted でない $K_{6,4}$ は self-knotted は未だ今不明.

証明 $n \geq 7$ のとき $K_{n,n-2} \geq K_{7,5} > K_{5,5}$ で $K_{5,5}$ は self-knotted (Shimabara) であるから $K_{n,n-2}$ は self-knotted

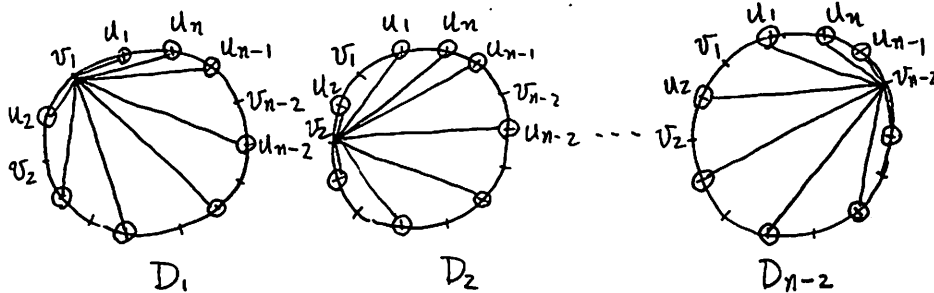
$K_{5,3}$ は必ず $V(K_{5,3}) = U \cup V = \{u_1, u_2, \dots, u_5\} \cup \{v_1, v_2, v_3\}$ とおき $K_{5,2} (< K_{5,3})$ を平面上に描き ($V(K_{5,2}) = U \cup \{v_1, v_2\}$ とする), 最後、頂点 v_3 から U へ結び (Join) を作ると $K_{5,3}$ が出来る 平面グラフと平面上にない1点からの結びで出来るグラフは結び目を含まないので $K_{5,3}$ は self-knotted ではない.

命題11 完全2部グラフを本表現(定義2)するのに必要な最小シート数 $\tilde{ms}(K_{n,n-2}) = n-2$ である.

証明 $K_{n,n-2} > K_{n-2,n-2}$ であり $ms(K_{n-2,n-2}) = n-2$ (Ikeda)

だから $\tilde{ms}(K_{n,n-2}) \geq n-2$ である. 一方下図のようにすると.

B_{n-2} は埋め込めるので $\tilde{ms}(K_{n,n-2}) \leq n-2 \therefore \tilde{ms}(K_{n,n-2}) = n-2$



注 $ms(K_{n-2,n-2}) = n-2$ は定義1の意味での本表現の必要最小シート数であるが定義2の意味で $\tilde{ms}(K_{n-2,n-2}) = n-2$ は明らか.

命題12 完全2部グラフ $K_{n,n-2}$ の極小半ハミルトングラフを H とすと H の唯一のハミルトン道 $\Delta = u_1v_1u_2v_2 \dots v_{n-2}u_{n-1}u_n$ は本表現(定義1)に必要な最小シート数 $ms(H) = n-2$ である。

証明 $H > K_{n-2,n-2}$ で $ms(K_{n-2,n-2}) = n-2$ だから $ms(H) \geq n-2$ 。一方命題11の作り方と同様にして辺 $e = \overline{u_{n-1}u_n}$ は最後のシート D_{n-2} に載せられるので $ms(H) \leq n-2$ 。 $\therefore ms(H) = n-2$.

命題13 $\text{rank } H_1(K_{n,n-2}; \mathbb{Z}) = (n-1)(n-3)$.

証明 $H = K_{n,n-2} \cup \{e\}$, $\partial e = \{u_{n-1}, u_n\}$, H の極大木 $T = \bigcup_{i=1}^{n-2} u_i v_i \cup \bigcup_{j=1}^{n-2} v_j u_{j+1} \cup v_{n-2} u_n$ とおくと $e \notin E(T)$.

よって命題5, 命題4より

$$\begin{aligned} \text{rank } H_1(K_{n,n-2}; \mathbb{Z}) &= \text{rank } H_1(H; \mathbb{Z}) - 1 = |E(H)| - |E(T)| - 1 \\ &= |E(K_{n,n-2})| + 1 - (2n-3) - 1 = n(n-2) - (2n-3) = (n-1)(n-3) \quad \square \end{aligned}$$

命題14. $K_{n,n-2}$ の命題11による埋め込みを $\tilde{K}_{n,n-2}^{(o)}$ とおくと $\tilde{K}_{n,n-2}^{(o)}$ は結び目にはなし局所自明(locally unknotted)である。

従って $\pi_1(\mathbb{S}^3 - \tilde{K}_{n,n-2}^{(o)}) = \text{free}$ である。

証明 $K_{n,n-2}$ の極大木 $T = \bigcup_{i=1}^{n-2} u_i v_i \cup \bigcup_{j=1}^{n-2} v_j u_{j+1} \cup v_{n-2} u_n$ とすと

$|E(T)| = 2n-3$. 残りの $(n-1)(n-3)$ 本の辺は全て disk(オホシート) 上にあり, その各々の辺を e_i ($i = 1, 2, \dots, (n-1)(n-3)$) とする。 ∂e_i を T 上で結んだ道を f_i とすると。サイクル $d_i = e_i \cup f_i$ は 1 枝の disk(オホシート) 上にあり, 明らかに e_i を含んでる disk(オホシート) D_i 上で 2-cell を張る。それらの 2-cell は適当に内部をシートから浮かせることがにより互いに内部では交わらないようになる。

(48)

参考文献

- [I] K. Ikeda : On minimum sheet numbers of graphs, preprint
- [K] K. Kobayashi : Standard spatial graph, Hokkaido Math. J. XXI (1992) 117-140
- [O] T. Otsuki : Knots and links in certain spatial complete graphs, Master Thesis, Waseda Univ. (1994).
- [E & O] T. Endo and T. Otsuki : Notes on spatial representation of graphs, Hokkaido Math. J. XXIII (1994) 383-398.

(10)